

МАТРИЧНЫЙ ЭЛЕМЕНТ ПРОЦЕССА $e^+e^- \rightarrow \gamma\gamma$

К. Д. Поляков

Учреждение образования «Гомельский государственный технический университет имени П.О. Сухого», Республика Беларусь

Научный руководитель В. Ю. Гавриш

Введение. Расчет наблюдаемых процессов стандартной модели является центральной задачей теоретической физики и физики высоких энергий. Вычисление наблюдаемых подобных процессов дает возможность определить с высокой точностью не только параметры стандартной модели, но и продолжить поиск эффектов новой физики.

В данной работе авторы, используя лагранжиан квантовой электродинамики, определяют явный вид матричного элемента процесса $e^+e^- \rightarrow \gamma\gamma$ (аннигиляция пары электрон-позитрон).

1. Лагранжиан квантовой электродинамики. Известно [1], что лагранжиан свободного поля частиц полуцелого спина (условно электронпозитронного) определяется выражением

$$L^e = \bar{\psi}(x)(i\gamma^\mu \partial_\mu - m)\psi(x), \quad (1)$$

где $\psi(x)$ – волновая функция частицы массы m , а γ^μ – матрицы Дирака. Отметим, что явный вид матриц в различных представлениях определяются с помощью матриц Паули и в силу громоздких записей здесь приводится не будет.

Используя свободный лагранжиан электромагнитного поля [2]:

$$L^y = -\frac{1}{4}F_{\mu\nu}F^{\mu\nu}, \quad (2)$$

где $F_{\mu\nu} = \partial_\mu A_\nu(x) - \partial_\nu A_\mu(x)$ – тензор напряженности электромагнитного поля, получаем полный лагранжиан невзаимодействующих фермионов с фотонами:

$$L_0 = L^e + L^y = \bar{\psi}(i\gamma^\mu \partial_\mu - m)\psi - \frac{1}{4}F_{\mu\nu}F^{\mu\nu}. \quad (3)$$

Стандартная процедура локальных калибровочных преобразований:

$$\begin{cases} \psi'(x) = e^{i\lambda(x)}\psi(x); \\ A'_\mu(x) = A_\mu(x) - \frac{1}{e}\partial_\mu\lambda(x), \end{cases} \quad (4)$$

выражения (3) приводит к лагранжиану электронфотонного взаимодействия:

$$L_{int} = -e \bar{\psi}(x)\gamma^\mu\psi(x)A_\mu, \quad (5)$$

где $\bar{\psi}(x)\gamma^\mu\psi(x)$ – электромагнитный ток перехода, а e – константа взаимодействия (в рассматриваемом случае заряд электрона позитрона).

2. Диаграммы Фейнмана процесса $e^+e^- \rightarrow \gamma\gamma$. Изучаемому процессу соответствуют диаграммы Фейнмана, показанные на рис. 1, а, б.

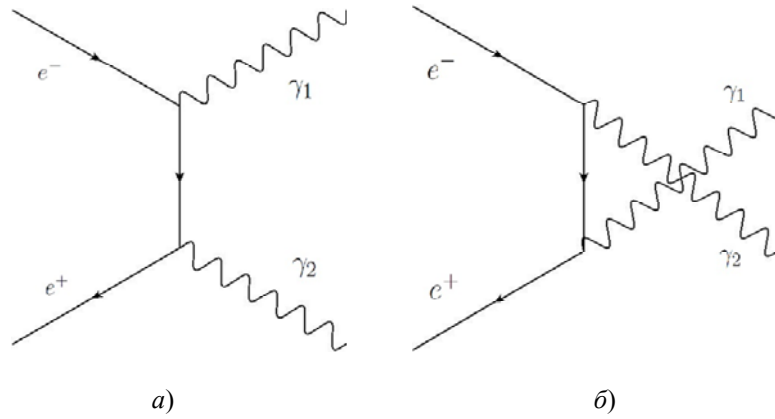


Рис. 1. Диаграммы Фейнмана процесса $e^+e^- \rightarrow \gamma\gamma$

Отметим, что указанные диаграммы получены с помощью теоремы Вика из выражения

$$e^2 N[\bar{\psi}(x_1)\gamma^\mu\psi(x_1)\bar{\psi}(x_2)\gamma^\nu\psi(x_2)] \quad (6)$$

путем расчета свертки с векторами начального и конечного состояний в борновском приближении (данные вычисления здесь приводятся не будут).

3. Матричные элементы процесса $e^+e^- \rightarrow \gamma\gamma$. Используя правила Фейнмана [3] и рис. 1, а, б, запишем матричные элементы изучаемого процесса: первой диаграмме соответствует матричный элемент:

$$M_{\nu,\nu}^{(1)}(\lambda_1, \lambda_2) = e^2 \bar{u}_\nu(\vec{p}_2, m_e) (\varepsilon^*(\lambda_2)\gamma) \frac{\hat{p}_1 - \hat{k}_1 + m_e}{(p_1 - k_1)^2 - m_e^2} (\varepsilon^*(\lambda_1)\gamma) u_\nu(\vec{p}_1, m_e), \quad (7)$$

где $\varepsilon(\lambda)$ – 4-вектор поляризации фотонов, явный вид которого в спиральном базисе определяется выражением

$$\varepsilon(\lambda_1) = \left\{ 0, \frac{\cos\theta}{\sqrt{2}}, -i\frac{\lambda_1}{\sqrt{2}}, -\frac{\sin\theta}{\sqrt{2}} \right\}; \quad \varepsilon(\lambda_2) = \left\{ 0, \frac{\cos\theta}{\sqrt{2}}, i\frac{\lambda_2}{\sqrt{2}}, -\frac{\sin\theta}{\sqrt{2}} \right\}; \quad (8)$$

$\lambda_{1,2} = \pm 1$, а θ – угол вылета фотонов в системе центра масс. Здесь и далее $u_v(\vec{p}, m) / v_v(\vec{p}, m)$ – биспиноры Дирака частицы/античастицы m с импульсом \vec{p} . Для второй диаграммы, соответственно, матричный элемент запишется в виде

$$M_{v,v}^{(2)}(\lambda_1, \lambda_2) = e^2 \bar{v}_v(\vec{p}_2, m_e) (\varepsilon^*(\lambda_1) \gamma) \frac{\hat{p}_1 - \hat{k}_2 + m_e}{(p_1 - k_2)^2 - m_e^2} (\varepsilon^*(\lambda_2) \gamma) u_v(\vec{p}_1, m_e). \quad (9)$$

Суммируя (7) и (8), получаем:

$$M_{v,v}(\lambda_1, \lambda_2) = M_{v,v}^{(1)}(\lambda_1, \lambda_2) + M_{v,v}^{(2)}(\lambda_1, \lambda_2) = e^2 \bar{v}_v(\vec{p}_2, m_e) \times \\ \times \left((\varepsilon^*(\lambda_2) \gamma) \frac{\hat{p}_1 - \hat{k}_1 + m_e}{(p_1 - k_1)^2 - m_e^2} (\varepsilon^*(\lambda_1) \gamma) + (\varepsilon^*(\lambda_1) \gamma) \frac{\hat{p}_1 - \hat{k}_2 + m_e}{(p_1 - k_2)^2 - m_e^2} (\varepsilon^*(\lambda_2) \gamma) \right) u_v(\vec{p}_1, m_e). \quad (10)$$

Выражение (3.4) перед стандартной процедурой возведения в квадрат целесообразно упростить. Для этого воспользуемся уравнениями:

$$(\hat{p} - m_e) u_v(\vec{p}, m_e) = 0, \quad (\hat{p} + m_e) v_v(\vec{p}, m_e) = 0 \quad (11)$$

для биспиноров Дирака. Используя соотношение [4]:

$$\gamma^\mu \gamma^\nu + \gamma^\nu \gamma^\mu = 2g^{\mu\nu}, \quad (12)$$

после некоторых преобразований:

$$\begin{aligned} (\hat{p}_1 - \hat{k}_1 + m_e) (\varepsilon^*(\lambda_1) \gamma) u_v(\vec{p}_1, m_e) &= (2(\varepsilon^*(\lambda_1) p_1) - \hat{k}_1 (\varepsilon^*(\lambda_1) \gamma)) u_v(\vec{p}_1, m_e); \\ (\hat{p}_1 - \hat{k}_2 + m_e) (\varepsilon^*(\lambda_2) \gamma) u_v(\vec{p}_1, m_e) &= (2(\varepsilon^*(\lambda_2) p_1) - \hat{k}_2 (\varepsilon^*(\lambda_2) \gamma)) u_v(\vec{p}_1, m_e), \end{aligned} \quad (13)$$

из (10) с учетом (13) окончательно получаем:

$$\begin{aligned} M_{v,v}(\lambda_1, \lambda_2) &= M_{v,v}^{(1)}(\lambda_1, \lambda_2) + M_{v,v}^{(2)}(\lambda_1, \lambda_2) = \\ &= e^2 \bar{v}_v(\vec{p}_2, m_e) (\varepsilon^*(\lambda_2) \gamma) \frac{2(\varepsilon^*(\lambda_1) p_1) - \hat{k}_1 (\varepsilon^*(\lambda_1) \gamma)}{(p_1 - k_1)^2 - m_e^2} u_v(\vec{p}_1, m_e) + \\ &+ e^2 \bar{v}_v(\vec{p}_2, m_e) (\varepsilon^*(\lambda_1) \gamma) \frac{2(\varepsilon^*(\lambda_2) p_1) - \hat{k}_2 (\varepsilon^*(\lambda_2) \gamma)}{(p_1 - k_2)^2 - m_e^2} u_v(\vec{p}_1, m_e). \end{aligned} \quad (14)$$

Дальнейший расчет наблюдаемых процесса $e^+ e^- \rightarrow \gamma \gamma$ связан с выбором системы отсчета и возведении (14) в квадрат с последующим суммированием по поляризациям фотонов и усреднением по спиновым состояниям фермионов. Данные выкладки в силу громоздкости здесь приводиться не будут.

Заключение. В ходе работы авторы, используя лагранжиан квантовой электродинамики, получают матричные элементы процесса аннигиляции электронпозитронной пары. Полученные в ходе работы результаты могут быть использованы для расчета наблюдаемых указанного процесса.

Л и т е р а т у р а

1. Биленький, С. М. Введение в диаграммы фейнмана и физику электрослабого взаимодействия / М. С. Биленький. – М. : Энергоатомиздат, 1990. – 327 с.
2. Окунь, Л. Б. Лептоны и кварки / Л. Б. Окунь. – И-во URSS, 2015. – 352 с.
3. Borodulin, V. I. CORE: COmpendium of RElations: Version 3.1 / V. I. Borodulin, R. N. Rogalev, S. R. Slabospitsky // arxiv:hep-ph/1702.08246–2017. – Режим доступа: <https://arxiv.org/pdf/1702.08246.pdf>.
4. Ландау, Л. Д. Теоретическая физика. Квантовая электродинамика / Л. Д. Ландау, Е. М. Лифшиц. – М. : Физматлит, 2006. – 720 с.